

УДК 539.3:534.26

ОТРАЖЕНИЕ И ПРЕЛОМЛЕНИЕ ПЛОСКОЙ ЗВУКОВОЙ ВОЛНЫ АНИЗОТРОПНЫМ НЕОДНОРОДНЫМ СЛОЕМ

Л. А. Толоконников

Тульский государственный университет, 300600 Тула

Рассматривается задача об отражении и преломлении плоской звуковой волны неоднородным упругим слоем, материал которого обладает анизотропией общего вида. Уравнения движения упругого слоя сведены к системе обыкновенных дифференциальных уравнений, краевая задача для которой решена двумя способами: с помощью сведения к задачам с начальными условиями и методом степенных рядов. Получены аналитические выражения, описывающие акустические поля вне слоя. Представлены результаты расчетов коэффициента прозрачности для трансверсально-изотропных слоев, неоднородных по толщине.

Отражение и прохождение звуковых волн через плоский неоднородный упругий слой исследовалось в работе [1]. При этом упругий слой полагался изотропным. Прохождение звука через анизотропный слой изучалось в работах [2, 3]. В них рассматривался случай однородного трансверсально-изотропного упругого слоя. Работа [4] посвящена исследованию прохождения звуковых волн через трансверсально-изотропный неоднородный упругий слой. В данной работе решается задача о прохождении плоской монохроматической звуковой волны через плоский неоднородный упругий слой, материал которого обладает анизотропией общего типа.

1. Рассмотрим анизотропный неоднородный плоский слой толщиной $2h$, модули упругости и плотность материала которого описываются непрерывными дифференцируемыми функциями координат x_3 . При этом система прямоугольных координат x_1, x_2, x_3 выбрана таким образом, что ось x_1 лежит в средней плоскости слоя, а ось x_3 направлена вниз по нормали к поверхности слоя. Полагаем, что верхняя и нижняя поверхности слоя граничат с идеальными однородными жидкостями, которые имеют плотности ρ_1, ρ_2 и скорости звука c_1, c_2 соответственно.

Пусть из полупространства $x_3 < -h$ на упругий слой падает плоская звуковая волна, потенциал скоростей которой равен

$$\psi_i = \exp \{i[k_{11}x_1 + k_{13}(x_3 + h) - \omega t]\}, \quad (1.1)$$

где $k_{11} = k_1 \sin \theta_1$, $k_{13} = k_1 \cos \theta_1$ — проекции волнового вектора \mathbf{k}_1 на оси координат x_1 и x_3 соответственно; $k_1 = \omega/c_1$ — волновое число в верхнем полупространстве; ω — круговая частота; θ_1 — угол падения плоской волны. Временной множитель $\exp(-i\omega t)$ в дальнейшем опускаем.

Определим отраженную от слоя и прошедшую через слой волны, а также найдем поле смещений внутри упругого слоя.

2. Распространение упругих волн в неоднородном анизотропном слое описывается

Работа выполнена при финансовой поддержке Российского фонда фундаментальных исследований (код проекта 97-01-01045).

общими уравнениями движения упругой среды [5]

$$\rho \ddot{u}_i = \frac{\partial \sigma_{ij}}{\partial x_j}, \quad i = 1, 2, 3, \quad (2.1)$$

где $\rho = \rho(x_3)$ — плотность материала слоя; u_i — проекция вектора смещения \mathbf{u} на ось x_i ; σ_{ij} — компоненты тензора напряжений, которые в общем случае анизотропии связаны с компонентами тензора деформаций следующим образом:

$$\sigma_{ij} = \lambda_{ijkl} \varepsilon^{kl}. \quad (2.2)$$

Здесь $\lambda_{ijkl} = \lambda_{ijkl}(x_3)$ — модули упругости анизотропного материала; $\varepsilon_{kl} = (1/2)(\partial u_k / \partial x_l + \partial u_l / \partial x_k)$.

В дальнейшем будем пользоваться двухиндексным обозначением модулей упругости λ_{ik} , где $i, k = 1, 2, \dots, 6$. При этом значениям индексов 1, 2, ..., 6 соответствуют пары индексов 11, 22, 33, 23, 13, 12.

Поскольку волновой вектор падающей волны лежит в плоскости x_1, x_3 и, следовательно, возбуждающее поле не зависит от координаты x_2 , а неоднородность материала слоя проявляется лишь по оси x_3 , то от координаты x_2 не должны зависеть ни отраженное, ни прошедшее в полупространство $x_3 > h$, ни возбужденное в упругом слое поля. Заметим также, что согласно закону Снеллиуса [6] зависимость составляющих вектора смещения от координаты x_1 будет иметь вид $\exp(ik_{11}x_1)$. Поэтому проекции вектора смещения будем искать в виде

$$u_i = U_i(x_3) \exp(ik_{11}x_1). \quad (2.3)$$

Подставляя выражения (2.2) в уравнения (2.1) с учетом (2.3), получим систему линейных обыкновенных дифференциальных уравнений второго порядка относительно неизвестных функций $U_i(x_3)$ ($i = 1, 2, 3$):

$$AU'' + BU' + CU = 0, \quad (2.4)$$

где

$$\begin{aligned} \mathbf{U} &= (U_1, U_2, U_3)^T, \quad A = \begin{pmatrix} \lambda_{55} & \lambda_{54} & \lambda_{53} \\ \lambda_{45} & \lambda_{44} & \lambda_{43} \\ \lambda_{35} & \lambda_{34} & \lambda_{33} \end{pmatrix}, \\ B &= \begin{pmatrix} \lambda'_{55} + 2s\lambda_{51} & \lambda'_{54} + s(\lambda_{56} + \lambda_{14}) & \lambda'_{53} + s(\lambda_{55} + \lambda_{13}) \\ \lambda'_{45} + s(\lambda_{41} + \lambda_{65}) & \lambda'_{44} + 2s\lambda_{46} & \lambda'_{43} + s(\lambda_{45} + \lambda_{63}) \\ \lambda'_{35} + s(\lambda_{31} + \lambda_{55}) & \lambda'_{34} + s(\lambda_{36} + \lambda_{54}) & \lambda'_{33} + 2s\lambda_{35} \end{pmatrix}, \\ C &= \begin{pmatrix} s\lambda'_{51} + s^2\lambda_{11} + \rho\omega^2 & s\lambda'_{56} + s^2\lambda_{16} & s\lambda'_{55} + s^2\lambda_{15} \\ s\lambda'_{41} + s^2\lambda_{61} & s\lambda'_{46} + s^2\lambda_{66} + \rho\omega^2 & s\lambda'_{45} + s^2\lambda_{65} \\ s\lambda'_{31} + s^2\lambda_{51} & s\lambda'_{36} + s^2\lambda_{56} & s\lambda'_{35} + s^2\lambda_{55} + \rho\omega^2 \end{pmatrix}. \end{aligned}$$

Здесь $s = ik_{11}$, а штрихи обозначают производные по координате x_3 .

Отраженная и прошедшая звуковые волны являются решениями уравнений Гельмгольца [6] $\Delta\psi_j + k_j^2\psi_j = 0$, $j = 1, 2$, где $k_2 = \omega/c_2$ — волновое число в нижнем полупространстве. Потенциалы скоростей отраженной от слоя и прошедшей через слой волн будем искать в виде

$$\psi_1 = A_1 \exp\{i[k_{11}x_1 - k_{13}(x_3 + h)]\}, \quad \psi_2 = A_2 \exp\{i[k_{21}x_1 + k_{23}(x_3 - h)]\}, \quad (2.5)$$

где k_{21} , k_{23} — проекции волнового вектора \mathbf{k}_2 на оси x_1 и x_3 ; $k_{21}^2 + k_{23}^2 = k_2^2$. При этом согласно закону Снеллиуса $k_{21} = k_{11}$.

Коэффициенты A_1 и A_2 подлежат определению из граничных условий, которые заключаются в равенстве нормальных скоростей частиц упругой среды и жидкости на обеих поверхностях плоского слоя, отсутствии на этих поверхностях касательных напряжений, равенстве на них нормального напряжения и акустического давления:

$$\begin{aligned} -i\omega u_3 &= v_{1n}, \quad \sigma_{13} = 0, \quad \sigma_{23} = 0, \quad \sigma_{33} = -p_1 \quad \text{при } x_3 = -h, \\ -i\omega u_3 &= v_{2n}, \quad \sigma_{13} = 0, \quad \sigma_{23} = 0, \quad \sigma_{33} = -p_2 \quad \text{при } x_3 = h, \end{aligned} \quad (2.6)$$

где $v_{1n} = \partial(\psi_i + \psi_1)/\partial x_3$, $p_1 = i\omega\rho_1(\psi_i + \psi_1)$ и $v_{2n} = \partial\psi_2/\partial x_3$, $p_2 = i\omega\rho_2\psi_2$ — нормальные компоненты скоростей частиц жидкости и акустические давления в верхнем и нижнем полупространствах соответственно.

Подставим выражения (1.1), (2.2), (2.3) и (2.5) в граничные условия (2.6). В результате получим выражения для коэффициентов A_1 и A_2 :

$$A_1 = 1 + (\omega/k_{13})U_3(-h), \quad A_2 = -(\omega/k_{23})U_3(h) \quad (2.7)$$

и шесть условий для нахождения частного решения системы дифференциальных уравнений (2.4):

$$(AU' + EU)_{x_3=-h} = D; \quad (2.8)$$

$$(AU' + FU)_{x_3=h} = 0, \quad (2.9)$$

где

$$E = s \begin{pmatrix} \lambda_{51} & \lambda_{56} & \lambda_{55} \\ \lambda_{41} & \lambda_{46} & \lambda_{45} \\ \lambda_{31} & \lambda_{36} & \lambda_{35} + \frac{i\rho_1\omega^2}{sk_{13}} \end{pmatrix}, \quad F = s \begin{pmatrix} \lambda_{51} & \lambda_{56} & \lambda_{55} \\ \lambda_{41} & \lambda_{46} & \lambda_{45} \\ \lambda_{31} & \lambda_{36} & \lambda_{35} - \frac{i\rho_2\omega^2}{sk_{23}} \end{pmatrix},$$

$$D = (0; 0; -2i\rho_1\omega)^T.$$

Из формул (2.7) следует, что коэффициент отражения A_1 и коэффициент прозрачности A_2 могут быть вычислены лишь после определения значений функции $U_3(x_3)$ на поверхностях слоя.

3. Для определения поля смещений в упругом слое необходимо решить краевую задачу (2.4), (2.8), (2.9). Сведем эту задачу к задачам с начальными условиями. Пусть $\mathbf{U}_1, \mathbf{U}_2, \dots, \mathbf{U}_6$ образуют фундаментальную систему решений уравнений (2.4) на интервале $(-h, h)$. Тогда решением \mathbf{U} краевой задачи будет любая линейная комбинация

$$\mathbf{U} = \sum_{j=1}^6 C_j \mathbf{U}_j. \quad (3.1)$$

Подставляя выражение (3.1) в краевые условия (2.8), (2.9), получим систему шести линейных алгебраических уравнений относительно неизвестных коэффициентов C_j ($j = 1, 2, \dots, 6$):

$$\sum_{j=1}^6 C_j (AU'_j + EU_j)_{x_3=-h} = D, \quad \sum_{j=1}^6 C_j (AU'_j + FU_j)_{x_3=h} = 0. \quad (3.2)$$

Определив коэффициенты C_1, C_2, \dots, C_6 , по формуле (3.1) найдем функции U_1, U_2, U_3 . Теперь составляющие вектора смещения будут определяться выражениями (2.3), а акустические поля вне упругого слоя — (2.5), (2.7).

Рассмотрим порядок построения фундаментальной системы решений для уравнений (2.4). Условием существования фундаментальной системы решений для уравнений (2.4),

определенных и непрерывных на интервале $(-h, h)$, является непрерывность на этом интервале коэффициентов системы (2.4). Это условие выполняется, если непрерывны не только функции $\rho(x_3)$ и $\lambda_{ik}(x_3)$, но и первые производные $\lambda'_{ik}(x_3)$. Кроме того, в указанном интервале должен быть отличен от нуля $\det A$. Тогда в качестве фундаментальной системы решений можно выбрать любые шесть решений задачи Коши для системы (2.4) с начальными условиями, являющимися линейно независимыми. Такими начальными условиями можно выбрать следующие:

$$\mathbf{U}_j = (\delta_{1j}, \delta_{2j}, \delta_{3j})^T, \quad \mathbf{U}'_j = (\delta_{4j}, \delta_{5j}, \delta_{6j})^T, \quad j = 1, 2, \dots, 6, \quad (3.3)$$

где j — порядковый номер задачи Коши; δ_{ij} — символ Кронекера. При этом начальной точкой может являться любая точка $[-h, h]$. Решение задач Коши можно провести каким-либо численным методом.

4. Построим приближенное аналитическое решение краевой задачи (2.4), (2.8), (2.9). Применим метод степенных рядов [7]. При этом необходимо выполнение требований, чтобы на $[-h, h]$ функция $\rho(x_3)$ была непрерывна со своей первой производной, а функции $\lambda_{ik}(x_3)$ были непрерывны и имели непрерывные производные до второго порядка включительно и $\det A \neq 0$.

Запишем краевую задачу в безразмерных величинах: $x = x_3/h$, $\mathbf{U}_j^* = \mathbf{U}_j/h$, $\lambda_{ik}^* = \lambda_{ik}/\lambda_0$, $\rho^* = \rho/\rho_0$, где λ_0 и ρ_0 — некоторые характерные упругая постоянная и плотность. В дальнейшем вернемся к четырем индексам для обозначения модулей упругости, что позволит более компактно записать выводимые соотношения. Предположим, что модули упругости и плотность материала слоя имеют вид многочленов относительно x (или аппроксимированы такими многочленами):

$$\lambda_{ijkl}^*(x) = \sum_{m=0}^R \lambda_{ijkl}^{(m)} x^m, \quad \rho^*(x) = \sum_{m=0}^R \rho^{(m)} x^m, \quad (4.1)$$

где $\lambda_{ijkl}^{(m)}$ и $\rho^{(m)}$ — коэффициенты многочленов; R — максимальная степень используемых многочленов.

С учетом указанных выше ограничений решение системы (2.4) можно искать в виде

$$\mathbf{U}_i^* = \sum_{n=0}^{\infty} U_i^{(n)} x^n \quad (i = 1, 2, 3), \quad (4.2)$$

причем ряды (4.2) будут сходящимися на $[-1, 1]$.

Получим рекуррентные соотношения для нахождения коэффициентов $U_i^{(n)}$. Для этого запишем систему (2.4) в координатной форме (в безразмерном виде)

$$\sum_{i=1}^3 (A_{ki}^* U_i^{''} + B_{ki}^* U_i' + C_{ki}^* U_i) = 0, \quad k = 1, 2, 3. \quad (4.3)$$

На основании выражений (4.1) безразмерные элементы матриц A^* , B^* , C^* запишем в виде многочленов

$$A_{ki}^* = \sum_{m=0}^R A_{ki}^{(m)} x^m, \quad B_{ki}^* = \sum_{m=0}^R B_{ki}^{(m)} x^m, \quad C_{ki}^* = \sum_{m=0}^R C_{ki}^{(m)} x^m, \quad (4.4)$$

где

$$A_{ki}^{(m)} = \lambda_{k3i3}^{(m)}, \quad B_{ki}^{(m)} = sh(\lambda_{k3i1}^{(m)} + \lambda_{k1i3}^{(m)}) + (m+1)\lambda_{k3i3}^{(m+1)},$$

$$C_{ki}^{(m)} = sh \left[(m+1)\lambda_{k3i1}^{(m+1)} + sh \lambda_{k1i1}^{(m)} + \frac{\omega^2 h}{s \lambda_0} \rho_0 \rho^{(m)} \delta_{ki} \right].$$

Заметим, что при $m > R$ $\lambda_{ijkl}^{(m)} = 0$, $\rho^{(m)} = 0$.

Подставляя выражения (4.2) и (4.4) в уравнение (4.3) и приравнивая к нулю коэффициенты при различных степенях x , получим уравнения для определения коэффициентов $U_i^{(n)}$. Разрешая последние относительно $U_i^{(n+2)}$, находим

$$\underline{U}^{(n+2)} = -\frac{A^{(0)-1}}{(n+1)(n+2)} \sum_{m=0}^{R_1} [G^{(m)} \underline{U}^{(n+1-m)} + C^{(m)} \underline{U}^{(n-m)}], \quad (4.5)$$

где $\underline{U}^{(n)} = (U_1^{(n)}, U_2^{(n)}, U_3^{(n)})^T$, $G^{(m)} = (G_{ki}^{(m)})_{3 \times 3}$, $C^{(m)} = (C_{ki}^{(m)})_{3 \times 3}$, $G_{ki}^{(m)} = (n+1-m) \times [(n+1)\lambda_{k3i3}^{(n+1)} + sh(\lambda_{k3i1}^{(m)} + \lambda_{k1i3}^{(m)})]$, $R_1 = \min(R, n)$.

Рекуррентное соотношение (4.5) позволяет вычислить все коэффициенты разложений (4.2) за исключением $U_i^{(0)}$ и $U_i^{(1)}$ ($i = 1, 2, 3$). Коэффициенты $U_i^{(0)}$ и $U_i^{(1)}$ легко определить, если использовать сведение краевой задачи к задачам Коши с начальными условиями (3.3) в точке $x = 0$. Получим (для задачи Коши с номером j)

$$\underline{U}_j^{(0)} = (\delta_{1j}, \delta_{2j}, \delta_{3j})^T, \quad \underline{U}_j^{(1)} = (\delta_{4j}, \delta_{5j}, \delta_{6j})^T, \quad j = 1, 2, \dots, 6. \quad (4.6)$$

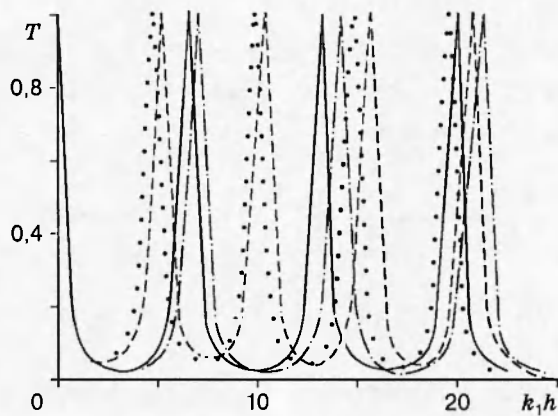
Решение системы (4.3) запишется в виде

$$\underline{U}_i^* = \sum_{j=1}^6 C_j \underline{U}_{ij}^*, \quad (4.7)$$

где $\underline{U}_{ij}^* = \sum_{n=0}^{\infty} U_{ij}^{(n)} x^n$, $i = 1, 2, 3$; $j = 1, 2, \dots, 6$. Коэффициенты $U_{ij}^{(n)}$ вычисляются по формулам (4.5), (4.6) для $j = 1, 2, \dots, 6$. Коэффициенты C_j определяются из краевых условий путем решения системы линейных алгебраических уравнений (3.2), записанных в безразмерных величинах. После нахождения коэффициентов C_j получаем приближенное аналитическое решение краевой задачи (2.4), (2.8), (2.9) в виде (4.7).

5. На основе полученного решения задачи проведены расчеты коэффициента прозрачности по интенсивности $T = (\rho_2 c_1 / (\rho_1 c_2)) |A_2|^2$ для трансверсально-изотропной пластины, находящейся в воде ($\rho_1 = \rho_2 = 10^3$ кг/м³, $c_1 = c_2 = 1485$ м/с). Численные исследования проводились как для случая однородных материалов с плотностью $\rho_0 = 2,7 \cdot 10^3$ кг/м³, так и для слоя со следующим видом неоднородности: $\rho(x_3) = \rho_0 f(x_3)$, где $f(x_3) = a \{0,2 + \exp[-16(x_3 + h)^2]\}$. При этом множитель a выбран так, чтобы среднее значение функции $f(x_3)$ по толщине слоя было равно 1. При расчетах были приняты следующие значения модулей упругости анизотропного материала: $\lambda_{11} = 16,4 \cdot 10^{10}$ Н/м², $\lambda_{13} = 3,28 \cdot 10^{10}$ Н/м², $\lambda_{33} = 5,74 \cdot 10^{10}$ Н/м², $\lambda_{44} = 2,54 \cdot 10^{10}$ Н/м². Значение модуля упругости λ_{12} не фиксируется, так как в случае трансверсально-изотропного слоя он не присутствует ни в уравнениях (2.4), ни в граничных условиях (2.8), (2.9). Для оценки влияния анизотропии материала слоя на прохождение звука расчеты выполнялись и для изотропного слоя, материал которого имеет такую же плотность, как и анизотропный, и занимает промежуточное положение по скорости продольных волн относительно скорости квазипродольных волн в рассматриваемом анизотропном материале. Для выбранного изотропного материала $\lambda_{11} = 10,5 \cdot 10^{10}$ Н/м², $\lambda_{13} = 5,3 \cdot 10^{10}$ Н/м², $\lambda_{33} = 10,5 \cdot 10^{10}$ Н/м², $\lambda_{44} = 2,6 \cdot 10^{10}$ Н/м².

При проведении численных исследований краевая задача (2.4), (2.8), (2.9) решалась двумя способами: методом Рунге — Кутты четвертого порядка с автоматическим выбором шага интегрирования и методом степенных рядов. Результаты вычислений, полученные двумя способами, показали хорошее совпадение.



На рисунке представлена частотная зависимость коэффициента прозрачности T при нормальном падении звуковой волны на слой (сплошная кривая соответствует однородно-изотропному слою, штриховая — неоднородному анизотропному, штрихпунктирная — неоднородному изотропному, пунктирная — однородному анизотропному). Видно, что на резонансных частотах упругий слой оказывается полностью прозрачным для падающей звуковой волны. В области низких частот ($k_1 h < 1$) на прохождение звука не влияет ни анизотропия, ни неоднородность материала.

Графики, построенные для однородных слоев, показывают строгую периодичность появления резонансов с периодом $k_1 \pi / k_l$, где k_l — волновое число продольных волн в слое. В рассматриваемом случае $k_l = \omega \sqrt{\rho_0 / \lambda_{33}}$. Значит, взаимное расположение и периоды возникновения резонансов однородных материалов определяются величиной модуля упругости λ_{33} .

Неоднородность слоя рассматриваемого вида приводит к смещению резонансов в область более высоких частот по сравнению с соответствующим однородным слоем. Этого следовало ожидать, поскольку среднее по толщине слоя значение скорости продольных волн в неоднородном слое больше скорости продольных волн в однородном слое. Кроме того, для неоднородных материалов проявляется еще одна особенность частотных характеристик — отсутствие периодичности в появлении резонансов.

ЛИТЕРАТУРА

1. Приходько В. Ю., Тютекин В. В. Расчет коэффициента отражения звуковых волн от твердых слоисто-неоднородных сред // Акуст. журн. 1986. Т. 32, вып. 2. С. 212–218.
2. Лонкевич М. П. Прохождение звука через слой трансверсально-изотропного материала конечной толщины // Акуст. журн. 1971. Т. 17, вып. 1. С. 85–92.
3. Шендеров Е. А. Прохождение звука через трансверсально-изотропную пластину // Акуст. журн. 1984. Т. 30, вып. 1. С. 122–129.
4. Скобельцын С. А., Толоконников Л. А. Прохождение звуковых волн через трансверсально-изотропный неоднородный плоский слой // Акуст. журн. 1990. Т. 36, вып. 4. С. 740–744.
5. Ландау Л. Д., Лифшиц Е. М. Теория упругости. М.: Наука, 1965.
6. Бреховских Л. М. Волны в слоистых средах. М.: Наука, 1973.
7. Смирнов В. И. Курс высшей математики. М.: Наука, 1969. Т. 3, ч. 2.